

Li-In

10

PB-X-3362

1956

Li Yen

Schneider A., Kilmer O

Z. anorg. und allgem.  
Chem. 1956, 286, 23-7,

93-117-

ΔHm

1956

VI - 3882

Li In, Li Ga, Li Cd, Li, Na u gp.  
(H<sub>T</sub>-H<sub>O</sub>)

Schneider A., Hilmer O.

Z. anorg. und allgem. Chem.;

1956, 286, 97

Б, А1

еерб 92

Li Jr H<sub>4</sub>

14057  
Viberg, Muggi, Dumont

Un-codum Viberg, Schmidt, Dittmar.

Z. Naturforsch., 1957, 12 B, № 1  
54-55; 56-57; 57-58 · 59-60.

О биогородках соседствующих видов  
и распространении в Европе иници-  
ативы Li Jr H<sub>4</sub>. III Присло-  
жено изображение. № 134.  
Бораней трехвалентного иници-

X-58-S-13973

Liz | The Fe | Bop - 21.2 - V | 1957

J. Roberts

J.A.W. Laeefleeggeyer.

X

(Im)

6349

Bp - 33

"Y. Cinn. Cleco. Sire"

"1957, 58.95 m

V79

A - 2008

1968

Li In S<sub>2</sub> (Tz2) 0820P

Rooymans C. J.M.,

Philips Res. Rep. Suppl., 1968,  
N5, 125 pp.

2 Б777. Физико-химическое изучение систем  $InCl_3$ — $MeCl$ . Сообщ. 2. Диаграммы плавкости систем  $InCl_3$ — $LiCl$  и  $InCl_3$ — $KCl$ . Срывцев В. А., Петров Е. С. «Изв. Сиб. отд. АН СССР», 1968, № 4, Сер. хим. и вып. 2, 67—72 (рез. англ.)

1968

$K_3InCl_6$   
 $K_2InCl_5$

$Li_3InCl_6$

Диаграммы плавкости систем  $InCl_3$ — $LiCl$  и  $InCl_3$ — $KCl$  изучены методы ДТА. В диаграммах реализуются конгруэнто плавящееся соединение  $K_3InCl_6$  (т. пл.  $618^\circ$ ) и два никонгруэнтино плавящихся соединения  $Li_3InCl_6$  ( $462^\circ$ ) и  $K_2InCl_5$  ( $337^\circ$ ). Нонвариантные точки системы  $InCl_3$ — $LiCl$ : перитектика (32 мол. %  $InCl_3$ ,  $462^\circ$ ) и эвтектика (48 мол. %  $InCl_3$ ,  $381^\circ$ ). В системе  $InCl_3$ — $KCl$  эвтектика  $KCl + K_3InCl_6$  (18,5 мол. %  $InCl_3$ ,  $606^\circ$ ), эвтектика  $K_2InCl_5 + InCl_3$  (51 мол. %  $InCl_3$ ,  $288^\circ$ ) и перитектика 47 мол. %  $InCl_3$ ,  $337^\circ$ ). Проведено сопоставление диаграмм плавкости систем  $InCl_3$ — $MeCl$  для всех щел. хлоридов и дана теоретич. оценка теплот образования бинарных соединений состава  $Me_3InCl_6$ . Сообщ. I—см. РЖХим, 1965, 9Б472.

Автореферат

+1

Х. 1969. г.

(Li<sub>3</sub>InCl<sub>6</sub>)

1968

InCl<sub>3</sub>-LiCl

InCl<sub>3</sub>-KCl

K<sub>3</sub>InCl<sub>6</sub>

K<sub>2</sub>InCl<sub>5</sub>

T<sub>m</sub>, ΔH<sub>f</sub>

C.A. 1968

70431q Physical-chemical studies of InCl<sub>3</sub>-MCl systems. II. Phase diagrams of InCl<sub>3</sub>-LiCl and InCl<sub>3</sub>-KCl systems. Sryvtsev, V. A.; Petrov, E. S. (Inst. Fiz.-Khim. Osnov Pererab. Miner. Syr'ya, Novosibirsk, USSR). Izv. Sib. Otd. Akad. Nauk SSSR, Ser. Khim. Nauk 1968, (2), 67-72 (Russ). The InCl<sub>3</sub>-LiCl and InCl<sub>3</sub>-KCl systems were investigated by D.T.A. methods. Double salts Li<sub>3</sub>InCl<sub>6</sub>, K<sub>3</sub>InCl<sub>6</sub>, and K<sub>2</sub>InCl<sub>5</sub> were detected. Phase diagrams for InCl<sub>3</sub>-MCl systems (M is any alkali metal) show that chem. reactions between alkali metal chlorides and InCl<sub>3</sub> increase from NaCl to CsCl. Heats of formation of double salts were calcd. from lattice energies of single and double salts. These indicate that thermodynamically formation of InCl<sub>3</sub>.3MCl compds. is possible and that stability increases from Na<sub>3</sub>InCl<sub>6</sub> to Cs<sub>3</sub>InCl<sub>6</sub>. M. Simmer

69.18



+ 1



O.M.M. 2410

V 6325

P, OH<sub>V</sub> (LiNiO<sub>2</sub>, LiCoO<sub>2</sub>) 1968OH(Li, Ga<sub>2</sub>O<sub>3</sub>, LiGaO, LiO)AH(Li<sub>2</sub>O, In, Li<sub>2</sub>Mo, Li); s 40<sub>70</sub> (LiGaO);OH<sub>70</sub> (LiInO)

Fm by K. F. Picalora P.; Carnegie I.L.

J. Inorg. and Nucl. Chem.; 1968, 30, 113;  
2059-2065 (all 71).Mass spectrometric studies at high tem-  
peratures. XXVIII.oxides, Li<sub>2</sub>IO andBarium ternary  
Li<sub>2</sub>IO<sub>3</sub>-Li<sub>2</sub>CO<sub>3</sub>  
Li<sub>2</sub>IO<sub>3</sub>-Li<sub>2</sub>SiO<sub>3</sub>

V-6519

1969

NaIn, Na<sub>3</sub>In(Tm<sub>1-x</sub>); Na<sub>2</sub>In, LiIn (Tm)  
In (sHg, sSa, sGag)

Lamorecht G.J., Crowther P.;  
J. Inorg. and Nucl. Chem.,  
1969, 31, n4, 925-931

rex, 1969, 185745

B, B

$\text{Li}_3\text{InF}_6$

Ber 5034-X

1920

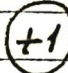
$\text{LiInF}_4$

8 Б755. Системы MF— $\text{InF}_3$  (M=Li, Na, K). Grancier Jean, Champagnaud Jean-Claude, Roguet Josik. «Les systèmes MF— $\text{InF}_3$  (M=Li, Na, K)». «Bull. Soc. chim. France», 1970, № 11; 3862—3864, XXIII (франц.; рез. англ.)

Системы MF— $\text{InF}_3$  (M=Li, Na, K) изучены с помощью методов ДТА и рентгеновского анализа. Образцы получены спеканием смесей исходных компонентов в герметизированных Au-трубках при 500—600°. В системе LiF— $\text{InF}_3$  установлены фазы  $\text{Li}_3\text{InF}_6$  и  $\text{LiInF}_4$ . Фаза  $\text{Li}_3\text{InF}_6$  существует в трех модификациях:  $\alpha$ , низкотретная форма, устойчивая до 415°,  $\beta$ , устойчивая в интервале т-р 415—505°, и  $\gamma$ -форма, устойчивая до т-ры плавле-

$T_{\text{et}}$

$T_m$



X. 1971.8



ния 640°. Фаза  $\text{LiInF}_4$  претерпевает полиморфный переход при 505°. В системе  $\text{NaF}-\text{InF}_3$  установлены фазы  $\text{Na}_3\text{InF}_6$  и  $\text{NaInF}_4$ . Фаза  $\text{Na}_3\text{InF}_6$  претерпевает полиморфные превращения при 705° и 780°,  $\alpha\text{-Na}_3\text{InF}_6$  имеет монокл. решетку с параметрами  $a$  5,643;  $b$  5,844;  $c$  8,190 Å,  $\beta=90^\circ 52'$ . Фаза  $\text{NaInF}_4$  имеет гексагон. решетку с параметрами  $a$  13,18;  $c$  9,39 Å. В системе  $\text{KF}-\text{InF}_3$  установлены соединения  $\text{K}_3\text{InF}_6$ ,  $\text{K}_5\text{In}_3\text{F}_{14}$ ,  $\text{KInF}_4$  и  $\text{KIn}_2\text{F}_7$ . Фаза  $\text{K}_5\text{In}_3\text{F}_{14}$  имеет тетрагон. структуру ( $a$  7,933;  $c$  11,882 Å), фаза  $\text{KInF}_4$  кристаллизуется в ромбич. сингонии с параметрами решетки  $a$  7,93;  $b$  7,76;  $c$  12,57 Å.

Л. В. Шведов

$\text{Na}_5\text{In}_8$ ;  $\text{K}_5\text{In}_8$ ;  $\text{Rb}_5\text{In}_8$ ;  $\text{Cs}_5\text{In}_8$ ; / ) 1970  
 $\text{Li}_5\text{In}$ ,  $\text{LiGa}$ ,  $\text{Rb}_5\text{Ga}_8$ ;  $\text{Cs}_5\text{Ga}_8$ ; (Tm)  
 $\text{Rb}_4\text{Te}_5$ ;  $\text{Rb}_4\text{Te}_5$ ;  $\text{Cs}_5\text{Te}_4$

Thümmel R., Klemm W., Z 5077.

Z. Anorg. Allg. Chem.; 1970, 376, № 1,  
44-63 (recd.)

~~Behavior of [alkaline earth] compounds~~  
of alkaline metals and Group II B-  
metals.

616 ⑨

CA 1970 173, 116, 81346 Z

*Li<sub>3</sub>InBr<sub>6</sub>*

1973.

8 Б884. Изучение диаграмм состояния систем три-  
бромид индия — бромид лития, трибромид индия — бро-  
мид калия и трибромид индия — бромид аммония. Ду-  
дарева А. Г., Гладис Кирос, Федоров П. И.,  
Ежов А. И., Акимов В. М. «Ж. неорган. химии»,  
1973, 18, № 1, 216—219

Методами термич. и рентгенофазового анализа изу-  
чены двойные системы из трибромида индия и броми-  
дов лития, калия и аммония. Диаграмма состояния си-  
стемы InBr<sub>3</sub>—LiBr эвтектич. типа с образованием огра-  
нич. тв. р-ра на основе крист. решетки InBr<sub>3</sub> и соедине-  
ния Li<sub>3</sub>InBr<sub>6</sub>. В системе InBr<sub>3</sub>—KBr образуется соедине-  
ние K<sub>3</sub>InBr<sub>6</sub>. Оба соединения плавятся инконгруэнтно  
при 237 и 320° соотв. Бромид индия с бромидом аммо-  
ния образует два соединения (NH<sub>4</sub>)<sub>3</sub>InBr<sub>6</sub> и NH<sub>4</sub>InBr<sub>6</sub>  
перитектич. типа, с т. разл. 328 и 160°, соответственно.  
Резюме

(T<sub>m</sub>)

x. 1973. N 8.

(+2) ☒

Li - In

1975

169228e Thermodynamic properties of lithium-indium molten alloys. Yatsenko, S. P.; Saltykova, E. A. (Ural. Nauchn. Tsentr, Inst. Khim., Sverdlovsk, USSR). Elektrokhimiya 1975, 11(4), 580-1 (Russ). Thermodn. properties of molten Li-In system were calcd. by using emf. data at 1023°K. The diagrams are given for activity and activity coeffs. of Li [7439-93-2] and In [7440-74-6], for partial and integral free energies, excess partial and integral free energies, and mixing enthalpies. The results reflect the formation of some Li-rich compds along with the 1:1 Li:In compd.

( $\delta G_{mix}$   $\Delta H_{mix}$ )

X  $\text{LiAl}_{1-x}\text{In}_x$ ;  $\text{Li}_2\text{AlIn}$ . 1975.

cr. str.

X-9726

Yahagi Masahito, Kuriyama Kazuo,  
Iwamura Kokuya.

Jap. J. Appl. Phys., 1975, 14, n<sup>3</sup>, 405-408.

X-ray study of  $\text{LiAl}_{1-x}\text{In}_x$  and  
 $\text{Li}_2\text{AlIn}$ .

PX, 1975, 18B 361.

See  
4 pg. 002

Li-In<sub>x</sub> (A6 mix, A7 mix) 1975  
Луценко С.Н., Садмуркова Е.А.,  
Электропечь, 1975, 11 (4),  
580-1.

Методика изучения свойств  
и методы распознавания структур  
Li-In.

Ar (φ)

С.А 1975.83 № 20. 16.9.228.8.

Lia Thy Sennarab November 4 84

1976

85: 181047u The lithium-indium system. Alexander, W. A.; Calvert, L. D.; Gamble, R. H.; Schinzel, K. (Div. Chem., Natl. Res. Counc. Canada, Ottawa, Ont.). *Can. J. Chem.* 1976, 54(7), 1052-60 (Eng). The Li-In system alloys were reexamd. by thermal and x-ray diffraction analysis. Complexity of the system was consistent with the analogous Li-Ti and Li-Ga systems. The solid solv. of Li in In is ~1.5 at. % Li, while that of In in Li is very low. The homogeneous Li-In phase extends from ~46 to 55-63 at. % Li, depending on the temp. Of the 11 new phases,  $Li_7In_4$  [60268-02-2],  $Li_2In$  [60267-97-2],  $Li_5In_3$  [60268-01-1],  $Li_3In$  [12521-06-1], and  $Li_4In(\lambda)$  [12521-07-2] are stable at room temp. while  $Li_5In_2$  [60268-00-0],  $Li_{73}In_{27}(\eta)$  [60268-04-4],  $Li_{11}In_4$  [60268-03-3],  $Li_4In(\kappa)$ ,  $Li_5In$  [60267-98-3] and  $Li_{12}In$  [60267-99-4] occur at higher temps.

C.A. 1976, 85 N 24

*LiIn*

1976

84: 129031z Elastic constants of single-crystal lithium indium. Kuriyama, K.; Saito, S. (Coll. Eng., Hosei Univ., Tokyo, Japan). *Phys. Rev. B* 1976, 13(4), 1528-31 (Eng). The elastic consts. of single-crystal InLi (NaTl type: space group  $Fd\bar{3}m$ ) were detd. at room temp. by an ultrasonic pulse-transmission technique. The values of the elastic consts., in units of  $10^{11}$  dyne/cm<sup>2</sup>, are  $C_{11} = 5.589$ ,  $C_{12} = 4.169$ , and  $C_{44} = 2.666$ . The results give deviation from Born-Smith dynamic lattice theory if nearest-neighbor interactions alone are considered. The binding force of LiIn is discussed. The value of the Debye temp. is also detd. by using de Launay's tables to be 211.2°K.

C.A. 1976 84 n 18

BX-1608

1977

$\Delta E - \Delta S - \Delta H$   
 $X = Al, Ba, In, Te$

Дубенко С.П., Саранчева Е.А.,

Электрическое теплоиздание. Свойства  
искусственных материалов, 1977; 89-91.

Эмп. исслед. № 1109. № 16-2 сплавов  
состава с цинком в системе III Аргентина  
С.А. 1978, 28, № 6, 198764к А.Л. М. РР

1978

$\text{LiInO}_2$

$\text{LiInS}_2$

(Tm)

1. 90: 80106k Preparation and basic physicochemical properties of alkali metal indates and thioindates. Kovach, S. K.; Semrad, E. E.; Voroshilov, Yu. V.; Gerasimenko, V. S.; Slivka, V. Yu.; Stasyuk, N. P. (Uzhgorod. Politekh. Inst., Uzhgorod, USSR). *Izv. Akad. Nauk SSSR, Neorg. Mater.* 1978, 14(12), 2172-6 (Russ). Molten mixts. contg. alkali metal carbonates and  $\text{In}_2\text{O}_3$  gave  $\text{LiInO}_2$  and  $\text{NaInO}_2$ .  $\text{LiInS}_2$  and  $\text{NaInS}_2$  were obtained by the reactions of  $\text{LiInO}_2$  or  $\text{NaInO}_2$ , resp., with  $\text{H}_2\text{S}$ ; however,  $\text{MInS}_2$  ( $\text{M} = \text{K}, \text{Rb}, \text{Cs}$ ) were obtained from melts of  $\text{M}_2\text{CO}_3$ ,  $\text{In}_2\text{O}_3$ , and S. The m.p. for each of these compds. was detd. from DTA data. The thioindates are oxidized in air at 340-80°. The thioindates were characterized by IR spectra.

(71)

$\text{NaInO}_2$

$\text{NaInS}_2$



C.A. 1979, 90, 110

$\text{LiInO}_2$

$\text{NaInO}_2$

$\text{RbInS}_2$

$\text{CsInS}_2$

( $T_m$ )

1978

813. Получение и основные физико-химические св-ва ионитов и тиоионитов щелочных металлов.

Кобар С.Р., Селиграу Е.Е., и др.

Уд. АН СССР. Чеборг. изобр.

1978, №, №2, 2172-2176

Соединения  $\text{LiInO}_2$  и  $\text{NaInO}_2$  получены сплавлением карбонатов щел. металлов с  $\text{In}_2\text{O}_3$ , соединения  $\text{LiInS}_2$  и  $\text{NaInS}_2$  — обменной р-цией  $\text{MInO}_2 + \text{H}_2\text{S}$ , а  $\text{KInS}_2$ ,  $\text{RbInS}_2$  и  $\text{CsInS}_2$  — сплавлением смеси  $\text{M}_2\text{CO}_3 + \text{In}_2\text{O}_3 + \text{S}$ . Методом Бриджмена—Стокбаргера выращены моно-кристаллы  $\text{LiInS}_2$ . Уточнены т-ры пл., плотность, подтверждена структура, измерена микротвердость, исследованы устойчивость в воздухе при нагревании и кол. спектры тиоионитов щел. металлов.

Резюме

(+3)

2. 1979, №6

Li In

1979

Kuriyama K; et al.

(T<sub>a</sub>)

J. Phys. Chem. Solids. 1979,  
40(6), 454-61.

all. Li-Al-T

*LiInS<sub>2</sub>*

1980

13 Б502 Деп. Получение кристалла LiInS<sub>2</sub> и его структура. Мотря С. Ф., Семрад Е. Е., Воронцов Ю. В., Поторий М. В. Ужгород. ун-т. Ужгород, 1980. 5 с., библиогр. 3 назв. (Рукопись деп. в ОНИИТЭХИМ г. Черкассы 11 марта 1980 г., № 250ХП—Д80)

( $\widehat{Im}$ )

Тионидат лития (I) в поликрист. виде получен методом обменных р-ций. Идентификация в-ва проводили методами рентгенофазового, ДТА и хим. анализов. Выявлен сложный характер плавления I, т. пл. 990°; при нагревании на воздухе соединение устойчиво до 340°. Горизонтальным вариантом метода Бриджмена — Стокбаргера в атмосфере Ne получили моно-кристаллы I размерами  $3 \times 3 \times 4$  мм<sup>3</sup>. Методом моно-крист. рентгеновской съемки определены параметры ромбич. решетки I:  $a = 6,819$ ,  $b = 8,038$ ,  $c = 6,546$  Å, ф. гр.  $Pn2_1$ .

Автореферат

2 1980 N13

*LiInSe<sub>2</sub>*

1980

13 В5 Деп. К вопросу о получении селеноиндатов щелочных металлов. Семрад Е. Е., Ворошилов Ю. З. Ужгород. ун-т. Ужгород, 1979, 4 с., библиогр. 4 назв. (Рукопись деп. в ОНИИТЭхим г. Черкассы, 11 марта 1980 г., № 255ХП—Д80)

Исследованы обменные р-ции  $M\text{InO}_2 + \text{H}_2\text{Se}$  ( $M = \text{Li}, \text{Na}, \text{K}$ ). Получены  $\text{LiInSe}_2$  (I),  $\text{NaInSe}_2$  (II),  $\text{KInSe}_2$  не в чистом состоянии. Определены параметры элементарных ячеек I и II и т-ра плавления I. При сравнении результатов данного исследования с ранее полученными для  $M\text{InS}_2$ , делается вывод о затруднении обмена  $\text{O} \leftrightarrow \text{Se}$  в связи с большим по сравнению с атомом серы размером атома селена и более низкой электроотрицательности последнего.

Автореферат

(Tm)

Х 1980 № 13

1980

*Li-In**Li<sub>2</sub>In**Меж. соедин.  
и массоперен.*

13 Б763. Термодинамика и массоперенос «LiIn». Wen C. John, Huggins Robert A. Thermodynamic and mass transport properties of «LiIn». «Mater. Res. Bull.», 1980, 15, № 9, 1225—1234 (англ.)

Вследствие перспективности использования сплавов Li в кач-ве отриц. электрёдов в батареях литий/сульфид металла для накопления энергии, предпринято систематич. исследование кинетич. и термодинамич. св-в серии бинарных сплавов Li. В трехэлектродной гальванич. ячейке типа Al, «LiAl»/LiCl—KCl(эвт.)/Li<sub>x</sub>In проводилось кулонометрич. Тт, измерение э. д. с. и определение коэф. хим. диффузии (КХД) сплавов Li—In при 415°. Кривая кулонометрич. Тт до 72 ат.% Li показала наличие в системе двух промежут. фаз номинального состава LiIn и Li<sub>2</sub>In и трех двухфазных областей с плато на зависимости э. д. с. от состава по отношению к чистому литию, равными 497, 145 и 80 мВ (в порядке роста  $y$  в Li<sub>x</sub>In). Активности Li в этих двухфазных областях 2,29·10<sup>-4</sup>, 8,67·10<sup>-2</sup> и 0,259 соотв. Для области конц-ий лития меньше 7,1 ат.% активности Li в индневом р-ре подчиняются закону Генри и  $y_{Li} = 7,12 \cdot 10^{-4}$ . Наиболее

х: 1981. N13

детально исследована область гомогенности «LiIn». Электродный Пт этой фазы по отношению к чистому Li лежит между 497 и 145 мВ для области составов от 46,7 до 63,3 ат.% Li. Внутри этой области активность Li меняется больше, чем на 2 порядка. Электродный Пт линейно убывает с ростом  $\delta$  в  $\text{Li}_{1+\delta}\text{In}$  для  $\delta > 0$  и резко возрастает для  $\delta < 0$ . Зависимость свободной энергии смешения от состава имеет минимум  $-24,55$  кДж/моль при 56,5 ат.% Li. КХД фазы  $\text{Li}_{1+\delta}\text{In}$  резко возрастает с уменьшением конц-ии Li для  $\delta < 0$ , достигая значения  $3,98 \cdot 10^{-5}$  см<sup>2</sup>/с при 47,1 ат.% Li. В области  $\delta > 0$  сохраняется постоянство КХД до 57,8 ат.% Li. При более высоких конц-иях Li КХД сначала уменьшается до  $4,73 \cdot 10^{-7}$  см<sup>2</sup>/с при 62,2 ат.% Li, а затем снова возрастает. Рассчитана и представлена графически зависимость от состава коэф. самодиффузии Li в фазе «LiIn» при 415.

Значения  $\Delta C_f$ (обр.) стехиометрич. фаз LiIn и Li<sub>2</sub>In составили  $-43,08$  и  $-66,27$  кДж/моль. А. Б. Кисилевский



Li97

Омск 12916

1981

наралент  
рецепки,

AlM;

Бушиков В.Д.,  
Язевеко С.П.,

д. физ. хим. 1981,  
55(11), 2951-2952

(Cu. Li - Ae)

*LiInSe<sub>2</sub>*

1981

9 Б414. Рост монокристаллов и характеристика  
LiInSe<sub>2</sub>. Kamijoh T., Kuriyama K. Single crystal  
growth and characterization of LiInSe<sub>2</sub>. «J. Cryst.  
Growth», 1981, 51, № 1, 6—10 (англ.)  
Осуществлен синтез (взаимодействием элементов в

(Tm)

вакууме  $10^{-3}$  торр при т-ре 920°, рентгенографич. (методы порошка и Лауэ), ДТА, спектрометрич. и электрич. исследование кристаллов LiInSe<sub>2</sub> (I). Для них, также как и для ранее изученного LiInS<sub>2</sub>, установлен структурный тип β-NaFeO<sub>2</sub> (сверхструктура к типу вюрцита). Параметры ромбич. решетки:  $a$  7,218,  $b$  8,441,  $c$  6,772 Å. Т. пл. 904°. По данным оптич. исследования в неполяризованном свете край поглощения соответствует 660 нм, при этом энергетич. разрыв составляет 1,88 эв. Для I установлена проводимость n-типа; удельное сопротивление составляет  $2,67 \cdot 10^{11}$  Ом·см. Приведены значения  $I$ ,  $d(hkl)$  рентгенограммы порошка I.

С. В. Соболева

X. 1981 № 9

LiIn

1982

Depravěb 10. cl. u gp.

$\Delta M_f$

HC. Neoprotom. servus,

1982, 27, NY, 1063-

- 1065.

(cell. LiGa; I)

YnLi(2) Tom. 22768 1985

Ihle H.R., Wu C.H.,

Ref, %;

J. Nucl. Mater., 1985,  
130, 454-464.

*hi InS<sub>2</sub>*

1985

4 Б3030. Термодинамические свойства соединений типа  $A_1B_{III}C_2^{VI}$ . Киш З. З., Лазарев В. Б., Переш Е. Ю., Семрад Е. Е. «9 Всес. совещ. по терм. анал., Ужгород, сент., 1985. Тез. докл.» Киев, 1985, 175—176

Методом количеств. ДТА исследованы  $LiInS_2$  (I),  $NaInS_2$  (II) и  $KInS_2$  (III). Т-ры плавления I, II и III найдены равными соотв. 1308, 1193 и 1211 К. Измерены теплоты плавления и из них определены энталпии  $-\Delta H$  и энтропии  $(\Delta S)$  плавления I, II и III, равные соотв.  $57,2 \pm 2,7$ ,  $61,4 \pm 2,9$  и  $18,5 \pm 1,9$  кДж/моль,  $43,7 \pm 2,0$ ,  $51,5 \pm 2,4$  и  $15,2 \pm 1,6$  Дж/моль·К.

А. М.

(42) ~~✓~~

X. 1986, 19, NЧ

*LiInS<sub>2</sub>*

1985

Б 12 Б2040. Синтез и кристаллическая структура тионната лития LiInS<sub>2</sub>. Киш З. З., Кашица А. С., Михайлов Ю. Н., Лазарев В. Б., Семрад Е. Е., Переш Е. Ю. «Докл. АН СССР», 1985, 280, № 2, 398—401

Осуществлен синтез (сплавлением смеси Li, InS и S) и рентгенографич. исследование ( $\lambda$  Mo, анизотропный МНК,  $R = 0,047$  для 1304 отражений) LiInS<sub>2</sub> (I). Кристаллы ромбич.,  $a = 6,474$ ,  $b = 6,887$ ,  $c = 8,050$  Å,  $\rho$ (выч.) 3,44,  $Z = 4$ , ф. гр.  $P2_1nb$ . Основными структурными единицами в I являются тетраэдры InS<sub>4</sub> и LiS<sub>4</sub>. В тетраэдрах InS<sub>4</sub> 2 атома S одного сорта связывают тетраэдры в цепи, параллельные оси Y, а 2 других атома S другого сорта связывают цепи, расположенные на разных высотах по X в 3-мерный каркас состава [In-S<sub>2</sub>]<sup>-</sup>. Длины связей в In-тетраэдрах: 2,437; 2,448; 2,459 и 2,463 Å, а значения тетраэдрич. углов колеблются от 108,8° до 111,7°. В Li-тетраэдрах расстояния Li—S

*Синтез  
и  
кристал-  
структур*

*X. 1985, 19, N 12.*

равны: 2,37; 2,38; 2,49 и 2,50 Å; углы соотв.  $104,8^\circ$ — $114,6^\circ$ . Проведено сравнение геометрии тетраэдров  $\text{InS}_4$  в I с аналогичными данными по другим тиоинидатам с тетраэдрич. координацией In. Показано, что симметрия  $\text{InS}_4$  в I близка к идеальной тетраэдрич. в отличие от всех остальных структурно изученных тиоинидатов.

Автодифферат.

*LiInTe<sub>2</sub>*

*1985*

11 Б2066. LiInTe<sub>2</sub> — первое соединение лития со структурой халькопирита. LiInTe<sub>2</sub> — die erste Lithium—Verbindung mit Chalcopyrit-Struktur. Kühn G., Schumann P., Oppermann D. «Strukt. und Eigensch. kristalliner, partiellkristalliner und nichtkristalliner Stoffe. 19. Jahrestag. VFK, Rostock, 23.—26. Apr., 1985. Kurzref.» Berlin, 1985, 57 (нем.)

Рентгенографическое исследование соединения LiInTe<sub>2</sub>, позволило установить для него структуру типа халькопирита с параметрами тетрагон. решетки:  $a$  6,419,  $c$  12,486 Å.

С. В. Соболева

*структур*

*X. 1986, 19, N 11*

*LiInTe<sub>2</sub>*

1985

' 104: 140898q Preparation, structure, and infrared lattice vibrations of lithium indium telluride (LiInTe<sub>2</sub>). Kuehn, G.; Schumann, B.; Oppermann, D.; Neumann, H.; Sobotta, H. (Sekt. Chem., Karl-Marx-Univ., DDR-7010 Leipzig, Ger. Dem. Rep.). Z. Anorg. Allg. Chem. 1985, 531, 61-6 (Eng). LiInTe<sub>2</sub>, prepd. by direct reaction of the elemental components, crystallizes in the tetragonal chalcopyrite structure (space group *I42d*) with *a* 0.6419(2) and c 1.2486(3) nm. LiInTe<sub>2</sub> remains in the chalcopyrite structure up to the melting temp. of (935 ± 5) K. IR reflectance spectra (40-4000 cm<sup>-1</sup>) yield 2 IR active optical modes. An anal. of the mode frequencies in terms of the Keating model shows that the Li-Te bond is considerably weaker than the In-Te bond.

*111:*

c.A.1986, 104, N16

$\text{Li}_3\text{InSb}_2$

$\text{Li}_3\text{InSb}_3$

(BfG)

LOM. 24322. / 1985.

103: 166992v Thermodynamics and phase stabilities of the lithium-indium-antimony ternary system. Sitte, W.; Weppner, W. (Max-Planck-Inst. Festkoerperforsch., D-7000 Stuttgart, 80 Fed. Rep. Ger.). *Appl. Phys. A* 1985, A38(1), 31-6 (Eng). Electrochem. investigations of the Li-In-Sb ternary system phase equil. show the existence of 2 new ternary phases,  $\text{Li}_3\text{InSb}_2$  (I) and (nominally)  $\text{Li}_6\text{InSb}_3$  (II), which has a wide range of stoichiometry along the quasi-binary cut InSb-Li<sub>3</sub>Sb. Both compds. are stable in equil. with elemental In and Sb. Li activities are limited to ranges from  $6.6 \times 10^{-8}$  to  $3.6 \times 10^{-7}$  and  $9.3 \times 10^{-8}$  to  $1.1 \times 10^{-5}$ , resp., at 400°. The std. Gibbs energies of formation of I and II are -296.2 and -568.8 kJ/mol, resp., at 400° and ideal stoichiometry. The activity ranges of Li, In and Sb are given for the stability of all phases of the ternary system.

C.A. 1985, 103, N20

1986

LiInTe<sub>2</sub>

14 Б2031. Кристаллическая структура · LiInTe<sub>2</sub>. Die Kristallstruktur von LiInTe<sub>2</sub>. Höngle W., Kühn G., Neumann H. «Z. anorg. und allg. Chem.», 1986, 532, № 1, 150—156, (нем.; рез. англ.)

Проведен РСТА ( $\lambda$  Mo, 154 отражения,  $R$  0,02) кристаллов LiInTe<sub>2</sub> (I), полученных нагреванием стехиометрич. кол-в Li, In, Te при 1275 К. Кристаллы тетрагон., (СТ халькопирита):  $a$  6,398,  $c$  12,460 Å, ф. гр.  $\bar{I}42d$ . Межатомные расстояния Li—Te 2,725, In—Te 2,769 Å, углы TeLiTe 109,07—110,28, TeInTe 108,46—111,52, InTeIn 107,51, InTeLi 108,75—110,89, LiTeLi 110,03°. На основании сравнения вычисл. значений позиц. параметра  $x$  для I, CuInTe<sub>2</sub> (II), AgInTe<sub>2</sub> (III) с измеренными сделан вывод, что их различие — мера отклонения тетраэдров от идеальных. Эти различия уменьшаются по ряду I, II, III. Вычисл. значения A—Te для II, III (A=Ag, Cu) больше, чем измеренные, для I наблюдается обратная картина; вычисл. расстоя-

Кристал-  
структур

ж. 1986, 19, № 14

ния In—Te для I—III соответствуют измёренным.  
Установлена линейная зависимость  $T_{\text{Ф. п.}}/T_{\text{пл}} - a/c$  для  
4-х соединений CuMX<sub>2</sub> (M=Al, Ga, In, X=Te, S), где  
 $T_{\text{Ф. п.}}$  — т-ра превращения халькопирит  $\rightarrow$  ZnS. По вели-  
чине  $\gamma = zc/h\omega_p$ , где  $z$  — валентность катиона,  $c$  —  
энергетич. щель,  $\omega_p$  — энергия валентного электрона  
проведено разделение СТ соединений AMX<sub>2</sub>.

В. Б. Калинин



*LiInSe<sub>2</sub>*

1986

16 Б2045. Кристаллическая структура  $\text{LiInSe}_2$ . Die Kristallstruktur von  $\text{LiInSe}_2$ . Höfte W., Kühn G.,

Newmann H. «Z. anorg. and allg. Chem.», 1986, 543, № 12, 161—168 (нем.; рез. англ.)

Методом РСТ<sub>А</sub> ( $R = 0,032$ ) изучено строение  $\text{LiInSe}_2$  (I), образующегося при нагревании смеси соотв. элементов. Ромбич. I имеет  $a = 718,3$ ,  $b = 839,8$ ,  $c = 678,1$  пм, ф. гр.  $Pna2_1$ , СТ  $\beta\text{-NaFeO}_2$  (II). Тетраэдры  $\text{InSe}_4$  более правильны ( $\text{In}—\text{Se}$  средн. 256,8 пм), чем  $\text{LiSe}_4$ , где 3 контакта  $\text{Li}—\text{Se}$  250,7, один — 262,2 пм. Проведено обсуждение структур I и др. фаз  $M^+M^{3+}X_2$ , где X=халькоген. При более высокой полярности связи  $M^+—X$  наблюдается СТ II, при более низкой — СТ халькопирита.

М. Б. Варфоломеев

X. 1987, 19, N 16

$\text{LiInSe}_2$

1986

$\text{LiInTe}_2$  Hörle W., Kühn G.

Z. Therm. Anal., 1986,  
31, N 3, 589-595.  
 $R_p$ ;

(crys.  $\bullet$   $\text{CuInSe}_2$ ; ?)

Y. Yn S<sub>2</sub>  
di Yn S<sub>2</sub>  
Y. Yn S<sub>2</sub>  
di Yn S<sub>2</sub>  
Y. Yn P<sub>2</sub>

Gp:

1986

Pirle, Nowak E., et al.;

XI Всесоюзная конференция  
по кореологии и хими-  
ческой металлофикации, Новосибирск, 1986. Тезисы докладов,  
т. II, 3-4, 121-122.

$\text{LiInTe}_2$

1987

Boehnke U.-C., Kühpel F.,  
Frolova F.I., et al.,

$C_p$ , The Heat Capacity at  
7-550K  $\text{LiInTe}_2$ .

Несправедлив  
но ТА и заморе  
мембрал

Jena, DDR, 23-28 apr., 1987,  
86.

*LiInSe<sub>2</sub>*

*1987*

8 E731. Индуцированный давлением фазовый переход в  $\text{LiInSe}_2$ . Pressure-induced phase transformation in  $\text{LiInSe}_2$ . Greuling B. «Cryst. res. and technol.», 1987, 22, № 2, K27—K29 (англ.)

На установке высокого давления с наковальнями Бриджмена изучена зависимость электросопротивления от давления, а также структурное поведение  $\text{LiInSe}_2$  при давлениях до 6 ГПа. Сопротивление растет до 2,6 ГПа, а затем уменьшается на пять порядков до 4,6 ГПа. Рентгенографич. исследование показало, что происходит необратимый переход в структуру типа  $\text{NaCl}$  с  $a = 5,54 \cdot 10^{-10}$  м. На установке с алмазными наковальнями при 4,5 ГПа наблюдалось изменение цвета образца от красного до черного; рентгенографич. исследование под давлением подтвердило наличие структуры типа  $\text{NaCl}$ ,  $\Delta V = 17,7\%$ . Е. С. Алексеев

*сф 1987, 18, N 8*

ОГ 26922

1987

16 Б3030. Термоемкость  $\text{LiInS}_2$ ,  $\text{LiInSe}_2$  и  $\text{LiInTe}_2$  между 200 и 550 К. Heat capacity of  $\text{LiInS}_2$ ,  $\text{LiInSe}_2$  and  $\text{LiInTe}_2$  between 200 and 550 K. Kühn G., Pirl E., Neumann H., Nowak E. «Cryst. Res. and Technol.», 1987, 22, № 2, 265—269 (англ.; рез. нем.)

Термоемкость  $C_p$  соединений  $\text{LiInS}_2$  (I),  $\text{LiInSe}_2$  (II) и  $\text{LiInTe}_2$  (III) со структурой типа  $\beta\text{-NaFeO}_2$  с тетраэдрической координацией катионов измерена методом ДСК в интервале 200—550 К. Эксперим. данные представлены графически и проанализированы с позиций теории валентно-силового поля. Подтверждено, что силы связей In—C<sup>VI</sup> в соединениях  $A^I\text{InC}_2^{VI}$ , где  $A^I = \text{Cu}, \text{Ag}$ , со структурой халькопирита и изученных соединениях со структурой  $\beta\text{-NaFeO}_2$  практически одинаковы при одинаковых C<sup>VI</sup> независимо от катиона A. Однако сила связей Li—C<sup>VI</sup> меньше, чем A<sup>I</sup>—C<sup>VI</sup>. Вклад ангармонизма в  $C_p$  для I, II и III проявляется при более низких температурах, чем в  $A^{IV}\text{B}^{III}\text{C}_2^{VI}$  и  $A^{II}\text{B}^{IV}\text{C}_2^{VI}$ .  $C_p$  I, II и III может быть выражена уравнением Лейбфрида  $C_p = 12R[F(\Theta_D/T) + \sum c_k T^k]$ , где  $F(\Theta/T)$  ф-ция Дебая,  $c_k$  — коэф. т-рного полинома 4-й степени. Л. А. Резницкий

LiInS<sub>2</sub>  
LiInSe<sub>2</sub>  
LiInTe<sub>2</sub>

(р)

Х. 1987, 19, N 16

*Y. of S*  
*Li In S<sub>2</sub>*  
*Li In Se<sub>2</sub>*  
*Li In Te<sub>2</sub>*

(M-26922) 1987

106: 163357t Heat capacity of lithium indium sulfide ( $\text{LiInS}_2$ ), lithium indium selenide ( $\text{LiInSe}_2$ ) and lithium indium telluride ( $\text{LiInTe}_2$ ) between 200 and 550 K. Kuehn, G.; Pirl, E.; Neumann, H.; Nowak, E. (Sekt. Chem., Karl Marx Univ., Leipzig, Ger. Dem. Rep.). *Cryst. Res. Technol.* 1987, 22(2), 265-9 (Eng). The molar heat capacities at const. pressure of  $\text{LiInS}_2$ ,  $\text{LiInSe}_2$  and  $\text{LiInTe}_2$  were measured at about 200 to 550 K. The anharmonic contribution to the heat capacity can be described by a polynomial of fourth order in the temp. A comparison of the results for the  $\text{LiInC}_{2\text{VI}}$  compds. with those for the  $\text{AgB}^{\text{III}}\text{C}_{2\text{VI}}$  and  $\text{Al}^{\text{II}}\text{B}^{\text{IV}}\text{C}_{2\text{V}}$  chalcopyrite compds. showed that the lattice anharmonicity effects are essentially influences by the specific nature of the Li-C<sub>VI</sub> bond.

(C<sub>p</sub>)

C. A. 1987, 106, N 20.

1987

LiInS<sub>2</sub>  
LiInSe<sub>2</sub>  
LiInTe<sub>2</sub>

Гр;

оф. 1987, 18, № 7

17 Е337. Термоемкость LiInS<sub>2</sub>, LiInSe<sub>2</sub> и LiInTe<sub>2</sub> между 200 и 550 К. Heat capacity of LiInS<sub>2</sub>, LiInSe<sub>2</sub> and LiInTe<sub>2</sub> between 200 and 550 K. Kühn G., Pirl E., Neumann H., Nowak E. «Cryst. res. and technol.», 1987, 22, № 2, 265—269 (англ.; рез. нем.)

В интервале т-р 200—550 К при постоянном давлении измерена полярная теплоемкость LiInS<sub>2</sub>, LiInSe<sub>2</sub> и LiInTe<sub>2</sub>. При анализе эксперим. данных показано, что ангармонич. вклад в теплоемкость может быть описан полиномом четвертого порядка по т-ре. Сравнение результатов для соединений LiInC<sub>2</sub><sup>VI</sup> и халькопиритных соединений AgB<sub>III</sub>C<sub>2</sub><sup>VI</sup> и A<sup>II</sup>B<sup>IV</sup>C<sub>2</sub><sup>V</sup> показывает, что эффекты ангармоничности решеток существенно связаны с особенностями природы связи Li—C<sup>VI</sup>.

*LiInTe<sub>2</sub>*

*On 29907 1988*

24 Б3013. Термоемкость LiInTe<sub>2</sub>. Heat capacity of LiInTe<sub>2</sub>. Boehnke U. C., Kühn G., Frolova F. I., Paukov I. E., Neumann H. «I. Therm. Anal.», 1988, 33, № 1, 205—209 (англ.; рез. нем., рус.)

В вакуумном адиабатич. калориметре в интервале т-р 7—300 К измерена теплоемкость LiInTe<sub>2</sub> (I). Станд. значения термодинамич. функций I при 298,15 К составили  $C_p^0 = 101,73$  Дж/моль. К,  $H^0_{298,15} - H_0^0 = -21,757$  кДж/моль и  $S^0 = 168,10$  Дж/моль·К. С использованием собственных ранее полученных данных рассчитаны и табулированы термодинамич. функции I в интервале 7—550 К. Выделен вклад в  $C_p$ , связанный с ангармоничностью решетки I выше 100 К. С ростом т-ры этот вклад у I возрастает более резко, чем у CuInTe<sub>2</sub>, что связано с особенностями связи Li—Te.

*Гузей*

*X. 1988, N 24*

LiInTe<sub>2</sub>

[M.d29907]

1988

10. 198574a Heat capacity of lithium indium telluride (LiInTe<sub>2</sub>). Foelzke, U. C.; Kuehn, G.; Frolova, F. I.; Paukov, I. E.; Leumann, H. (Dep. Chem., Karl Marx Univ., 7010 Leipzig, Ger. Dem. Rep.). *J. Therm. Anal.* 1987 (Pub. 1988). 33(1), 205-9 (Eng.). The heat capacity of LiInTe<sub>2</sub> at const. pressure was measured with an adiabatic vacuum calorimeter in the temp. range 7-300 K. The std. molar enthalpy and the std. molar entropy were calcd. From a theor. anal., the contribution to the heat capacity due to the lattice anharmonicity was estd. The increased effect of the lattice anharmonicity in LiInTe<sub>2</sub> is caused by specific properties of the Li-Te bond.

( $G, H-H^0$ ,  
 $s^0$ )

C.A. 1988, 109, N 22

LInSe<sub>2</sub>

1989

8 Б3114. Фазовый переход LiInSe<sub>2</sub> под давлением.  
Phasenumwandlungen von LiInSe<sub>2</sub> unter Druck: [Pap.]  
Ref. 28. Diskussionstag. Arbeitsgemeinsch. Kristallogr.  
Dtsch. Mineral. Ges., Dtsch. Phys. Ges. und Ges. Dtsch.  
Chem., Hannover, 1—3 März 1989 / Beister H. J., Syas-  
sen K., Höngle W., Kühn G. // Z. Kristallogr.— 1989.—  
186, № 1—4.— С. 27—28.— Нем.

Устойчивая в обычных условиях модификация  
LiInSe<sub>2</sub> со СТ  $\beta$ -NaFeO<sub>2</sub> и параметрами ромбич. ре-  
шетки:  $a$  718,3,  $b$  839,8,  $c$  678,1 пм,  $Z$  4 под действием  
давл. 4,1 ГПа претерпевает фазовый переход с обра-  
зованием фазы высокого давл. I. Для I характерен СТ  
NaCl со статистич. распределением катионов по окта-  
эдрич. положениям. Параметр кубич. решетки I  $a$  при  
4,8 ГПа 544,4, при комн. т-ре 556 пм. При отжиге I  
при т-ре 483 К происходит частичное упорядочение  
катионов и образование фазы II с параметрами тетра-  
гис. решетки (при 1,9 ГПа):  $a$  390,3,  $c$  636,4.

С. В. Соболева

(T<sub>t2</sub>)

X.1990, N 8

$\text{Li}_3\text{InF}_6$

1989

Бегоров Г. Г.,  
Зубров И. П. и др.

Исследование.

$T_m$

1989. 34, № 3. С. 741-743.

(см.  $\text{InF}_3$ ;  $T$ )

*Y. a  
Lidix*

*1991*

4 Б3120. Система In—Li (индий—литий). The In—Li (indium—lithium) system / Sangster J., Pelton A. D. // J. Phase Equilibria [бывш. Bull. Alloy Phase Diagr.]. — 1991.— 12, № 1.— С. 37—41.— Англ.

Обзор. Обобщены лит. данные по фазовым соотношениям в системе индий—литий. Приведена фазовая диаграмма системы, в к-рой образуются интерметаллиды  $In_2Li_3$ ,  $InLi_2$ ,  $In_3Li_{13}$ ,  $InLi_3$ , разлагающиеся перитектически при 295, 470, 400 и  $413^{\circ}\text{C}$  соотв., а также  $In_4Li_5$ . Максим. т-ра ликвидус в системе  $632 \pm 5^{\circ}\text{C}$  (вблизи  $InLi$ ). Представлены параметры крист. решеток полученных фаз, а также нек-рые термодинамич. данные о системе. Библ. 23.

*Л. Г. Титов*

*X. 1992, N 4*

1992

5 Б2058. Структура тетрафтороиндата лития. Structure of lithium tetrafluoroindate /Gravereau P., Chaminade J. P., Gaewdang T., Grannec J., Pouchard M., Hagenmuller P. //Acta crystallogr. C. —1992 .—48 ,№ 5 .—C. 769—771 .—Англ.

Монокристаллы  $\text{LiInF}_4$  получены твердофазной р-цией из стехиометрич. смеси  $\text{InF}_3$  и  $\text{LiF}$  при нагревании до 943 К с послед. медленным охлаждением до 473 К и исследованы РСТА ( $\lambda$  Mo, R 0,0144 для 568 рефлексов, 298 К). Параметры ромбич. решетки:  $a$  4,752,  $b$  11,721,  $c$  4,971 Å,  $V$  276,9 Å<sup>3</sup>, ф. гр.  $P\bar{b}c\bar{n}$ , Z 4,  $\rho$  (изм) 4,67,  $\rho$  (выч.) 4,74. Структура представляет собой новый структурный тип среди соед.  $\text{AMF}_4$  и состоит из перпендикулярных оси  $b$  слоев  $(\text{InF}_4)_n^{n-}$ , образованных из соединенных вершинами  $\text{InF}_6$ -октаэдров ( $\text{In}-\text{F}$  2,014—2,110 Å). Слои соединяются  $\text{Li}^+$ -ионами, к-рые формируют идущие вдоль оси с цепочки  $(\text{LiF}_4)_n^{n-}$  из соединенных ребрами  $\text{LiF}_6$ -октаэдров ( $\text{Li}-\text{F}$  1,949—2,109 Å). Слои объединяются с цепочками как через ребра F—F, так и F-вершинами. Р. К. Расцветаева

Структура

X. 1993, N5

1992

дизайн

**10 Б3085.** Новые быстроионные проводники типа  $M_3^I M^{III} Cl_6$  ( $M^I = Li, Na, Ag$ ,  $M^{III} = In, Y$ ). Neue schnelle Ionenleiter vom Typ  $M_3^I M^{III} Cl_6$  ( $M^I = Li, Na, Ag$ ;  $M^{III} = In, Y$ ) /Steiner H.-J., Lutz H. D. //Z. anorg. und allg. Chem. — 1992 .— 613 , № 7 .— С. 26—30 .— Нем. ;рез. англ.

Методами ДСК, высокот-рного РФА, ИК- и КР-спектроскопии в диапазоне т-р от  $-152$  до  $+550^\circ C$  исследовано фазовое поведение тройных систем  $Li_3InCl_6$  (I),  $Na_3InCl_6$  (II),  $Ag_3InCl_6$  (III) и  $Li_3YCl_6$  (IV). Спектроскопич. измерения импеданса обнаруживают области суперионной проводимости, увеличивающейся в последовательности  $II < IV < III < I$ . При  $300\text{ K}$  I имеет наивысшую ионную проводимость ( $\sigma = 0,2\text{ } \Omega^{-1} \cdot \text{см}^{-1}$ ) среди всех известных соед. Li. В I при  $90, 187$  и  $252^\circ C$  идет ряд фазовых переходов, с образованием монокл. структуры (при  $380\text{ K}$  а  $1182,8(4)$ , б  $1228,6(4)$ , с  $746,5(3)$  пм,  $\beta = 107,56^\circ$ ). В III при  $230$  и в IV при  $310^\circ C$  наблюдаются фазовые переходы типа порядок — беспорядок. IV кристаллизуется при комн. т-ре в ромбич. структуре (а  $1121,2(1)$ , б  $1293,0(1)$ , с  $604,0(1)$  пм,  $Z=4$ ). В II переходов не обнаружено.

В. А. Ступников

(Tz)  
1993, N/0

Y. J.  
dinh

1994

13 Б211. Структурный фазовый переход в  $\text{LiIn}$  при высоком давлении. Structural phase transition of  $\text{LiIn}$  at high pressure / Bräuninger S., Schwarz U., Syassen K. // 15th Eur. Crystallogr. Meet. (ECM-15), Dresden, 28 Aug. — 2 Sept., 1994: Book Abstr. — Munchen, 1994. — С. 537  
— Англ.

( $T_{t2}$ )

Методом РФА обнаружен обратимый фазовый переход у  $\text{LiIn}$  при давлении около 8 ГПа из гранецентрированной кубич. решетки типа  $\text{NaTl}$  (тип B32) в модификацию высокого давления с объемноцентрированной ячейкой (ф. гр. Ia3). При комнатной т-ре переход заторможен, с областью сосуществования фаз около 3 ГПа. Образование новой фазы ускоряется при выдержке около 200 °С на протяжении 4 ч. Скачок объема при фазовом переходе составляет около 9%. П. П. Федоров

X. 1995, N 13

LiInSe<sub>2</sub>

1995

124: 157419v Anomalous lattice specific heat of LiInSe<sub>2</sub> at low temperatures. Gmelin, E.; Hoenle, W. (D-70569 Stuttgart, Germany). *Thermochim. Acta* 1995, 269/270, 575-90 (Eng). The molar heat capacities at const. pressure of the ternary chalcopyrites LiInSe<sub>2</sub> and CuInSe<sub>2</sub> were detd. at 2-300 K with an adiabatic microcalorimeter. From the low temp. data were derived the following Debye temps. at 0 K:  $\theta_0$ -(LiInSe<sub>2</sub>) = 265(10) K and  $\theta_0$ (CuInSe<sub>2</sub>) = 228(3) K.. The std. enthalpies and entropies were calcd. by integrating the heat capacity curves. Comparisons was made with previously reported values for the molar heat capacity of these compds., measured above 200 K, and with other chalcogenides of the type A<sup>I</sup>B<sup>III</sup>C<sup>VI</sup><sub>2</sub>, with A = Cu, Ag, B = Ga, In and C = S, Se, Te. The averaged at. heat scales to one general curve within 3% for all known chalcogenide compds. except the Li compds. LiInSe<sub>2</sub> displays an excess heat below about 80 K that is represented by a (two-level) Schottky anomaly with an energy splitting of  $\Delta/k = 71.4(4)$  K suggesting that the Li atom could reside in a double-well potential.

④ LiInSe<sub>2</sub>

C.A. 1996, 124, N12.

*Li<sub>3</sub>InB<sub>2</sub>O<sub>6</sub>*

2001

F: Li<sub>3</sub>InB<sub>2</sub>O<sub>6</sub>

P: 1

02.08-19Б2.36. Кристаллическая структура нового бората лития-индия Li[3]InB[2]O[6]. Crystal structure of a new lithium indium borate Li[3]InB[2]O[6] / Penin Nicolas, Touboul Marcel, Nowogrocki Guy // Solid Sci. - 2001. - 3, N 4. - С. 461-468. - Англ.

Монокристаллы Li[3]InB[2]O[6] получены плавлением стехиометрической смеси Li<sub>2</sub>CO<sub>3</sub>, In<sub>2</sub>O<sub>3</sub> и B<sub>2</sub>O<sub>3</sub> при 900рС с последующим охлаждением до 4 со скоростью 0,1рС/мин. По монокристальным данным проведен РСТА Li[3]InB[2]O[6] ('лямбда' Mo, 298 K, 669 отражений, R1 0,0249, моноклинная решетка, ф. гр. P2[1]/n, Z 4, а 5,168, b 8,899, c 10,099 Å, 'бета' 91,112 Каркас структуры Li[3]InB[2]O[6] образован из связанных общими вершинами тригональных бипирамид InO<sub>6</sub> и треугольников BO<sub>3</sub>. Отмечен необычный тип кислородного окружения атомов Li по одной из трех занимаемых кристаллографических позиций - тригональная бипирамида. Li[3]InB[2]O[6] инконгруэнтно плавится при 827рС. Библ.